

УДК 535.33

© 1992

**ИССЛЕДОВАНИЕ ВОЗДЕЙСТВИЯ АКУСТИЧЕСКОЙ ВОЛНЫ
НА СПЕКТР ФОСФОРЕСЦЕНЦИИ
ТРИПЛЕТНО-ВОЗБУЖДЕННЫХ ПРИМЕСНЫХ ЦЕНТРОВ
В ОРГАНИЧЕСКИХ МОЛЕКУЛЯРНЫХ КРИСТАЛЛАХ**

B. A. Андреев, Ю. И. Прилуцкий

В рамках СПВ-механизма спин-фононной связи исследуется акустофосфоресцентный двойной резонанс. Данное явление заключается в том, что при прохождении акустической волны в кристалле протекает процесс поглощения фононов с одновременным переходом между спиновыми подуровнями триплетного возбужденного состояния. При этом происходит изменение относительных заселенностей спиновых подуровней, которое проявляется в изменении интенсивности и времени затухания детектируемого спектра фосфоресценции. Для изотопической примеси в кристалле дейтеронафтилина получены численные значения вероятностей прямых однофононных переходов при высоких магнитных полях и нулевом поле. Проведен детальный анализ зависимости переходов от направления распространения акустической волны.

Из-за сильной анизотропии межмолекулярных взаимодействий в органических молекулярных кристаллах при трансляционных движениях молекул происходит одновременно вращение молекул вокруг их осей, т. е. имеет место смешивание поступательного и вращательного движений (СПВ). СПВ-механизм обуславливает возможность модуляции энергии взаимодействий тонкой структуры (ТС) спиновых подуровней акустическими фононами и является основным источником низкотемпературной спин-решеточной релаксации (CPP) [1].

В работах [2, 3] СПВ-механизм предложен для объяснения наблюдавшегося на эксперименте [4, 5] акустофосфоресцентного двойного резонанса (АФДР). Данное явление возникает из-за того, что при прохождении акустической волны в кристалле протекает процесс поглощения фононов с одновременным переходом между спиновыми подуровнями триплетного возбужденного состояния. Вследствие этого происходит изменение относительных заселенностей спиновых подуровней, которое проявляется в изменении интенсивности и времени затухания детектируемой фосфоресценции с триплетных уровней примесной молекулы. В настоящей работе продолжено развитие теории АФДР на примере изотопической примеси в кристалле дейтеронафтилина. Получены численные значения вероятностей соответствующих переходов для прямых процессов первого порядка. Особенностью работы является детальный анализ механизма спин-фононной связи и зависимости скорости переходов от направления распространения акустической волны.

Спин-гамильтониан триплетно-возбужденной примесной молекулы имеет вид

$$H_S = H_Z + H_{FS}, \quad (1)$$

где оператор

$$H_Z = g\beta HS \quad (2)$$

описывает зеемановское взаимодействие суммарного спина электронов триплетно-возбужденной примесной молекулы ($S = 1$) со стационарным магнитным полем H , g — фактор спектроскопического расщепления, β — магнетон Бора,

$$H_{FS} = \sum_{\mu, \nu} D_{\mu\nu} S_\mu S_\nu \quad (3)$$

— электронный спин-гамильтониан в нулевом поле, обуславливающий тонкую структуру спектров ЭПР, выраженный через компоненты электронного спина S_μ и компоненты тензора ТС $D_{\mu\nu}$. Величины $D_{\mu\nu}$ в системе главных осей молекулы выражаются через две константы ТС D и E [6]

$$D_{XX} = E - \frac{D}{3}, \quad D_{YY} = -E - \frac{D}{3}, \quad D_{ZZ} = \frac{2}{3}D. \quad (4)$$

Предположим, что в кристалле распространяется плоская монохроматическая акустическая волна j -й ветви с волновым вектором f и частотой ω_{fj} , равной частоте перехода между определенными спиновыми состояниями возбужденного примесного центра, которая значительно меньше дебаевской частоты. Взаимодействие спиновой системы с акустической волной возникает вследствие изменений компонент тензора ТС при поворотах молекул, обусловленных смещением их центров масс. Это взаимодействие описывается гамильтонианом [1]

$$\delta H_{FS} = \sum_{\mu, M} T_M^2 \Pi_\mu^M \Theta_\mu(t). \quad (5)$$

Здесь T_M^2 — поляризационные операторы [7], записанные в системе координат с осью Z , направленной вдоль вектора H ; Π_μ^M — константы, ненулевые значения которых представляют собой линейные комбинации постоянных ТС

$$\Pi_X^{\mp 1} = i(D + E), \quad \Pi_Y^{\mp} = \mp(D - E), \quad \Pi_Z^{\mp} = \mp i2E, \quad (6)$$

$\Theta_\mu(t)$ — бесконечно малый угол поворота вокруг μ -й молекулярной оси

$$\Theta_\mu(t) = \left(\frac{\Pi V_0}{I_\mu v_{fj}} \right)^{1/2} \frac{e_\mu(fj)}{\omega_{fj}} [\exp(-i\omega_{fj}t) + \text{к. с.}], \quad (7)$$

где Π — величина потока акустической энергии, V_0 — объем элементарной ячейки кристалла, I_μ — μ -я компонента момента инерции молекулы, v_{fj} — величина фазовой скорости, $e_\mu(fj)$ — μ -я компонента вектора поляризации.

Анализ явления АФДР проведем в двух предельных случаях, а именно в приближении высоких магнитных полей ($g\beta H \gg D, E$) и при нулевом поле ($H = 0$).

В высокополевом приближении вероятность переходов между триплетными подуровнями σ и σ' ($\sigma, \sigma' = 0, \pm 1$) с поглощением фонона, вызываемых возмущением (5), равна

$$W_{\sigma\sigma'} = \frac{\pi V_0 \Pi}{\hbar} |\sigma - \sigma'| \sum_{\mu, \nu} T_{\mu\nu}(\mathbf{f}) A_\mu^{\sigma - \sigma'} \overline{A}_\nu^{\sigma - \sigma'} \rho(\hbar\omega_{\sigma\sigma'}), \quad (8)$$

где

$$T_{\mu\nu} = (I_\mu I_\nu)^{-1/2} e_\nu(\mathbf{f}) e_\nu(\mathbf{f}) f^{-2} v_f^{-3}, \quad (9)$$

$$A_\mu^M = \sum_\gamma D_{M\gamma}^2 \Pi_\mu^\gamma, \quad (10)$$

$D_{M\gamma}^2$ — функции Вигнера [7], описывающие ориентацию вектора напряженности магнитного поля по отношению к равновесному положению молекулярных осей; $\rho(\hbar\omega)$ — функция формы линии; ω — лармировская частота.

В случае нулевого поля

$$W_{\sigma\sigma'} = \pi V_0 \Pi \hbar\omega_{\sigma\sigma'}^2 T_{\mu\mu}(\mathbf{f}) \rho(\hbar\omega_{\sigma\sigma'}), \quad (11)$$

где σ, σ' , μ — несовпадающие индексы X, Y, Z , нумерующие молекулярные оси. Частоты переходов при $H = 0$

$$\hbar\omega_{XY} = D - E, \quad \hbar\omega_{YZ} = D + E, \quad \hbar\omega_{XZ} = 2E. \quad (12)$$

Значения параметров $T_{\mu\nu}$, фигурирующие в формулах (8), (11), были найдены нами в длинноволновом пределе ($f \rightarrow 0$), когда связь поступательных и вращательных движений молекул может быть учтена по теории возмущений, дающей возможность установить связь величин $T_{\mu\nu}$ с элементами динамической матрицы кристалла V^t , описывающих СПВ

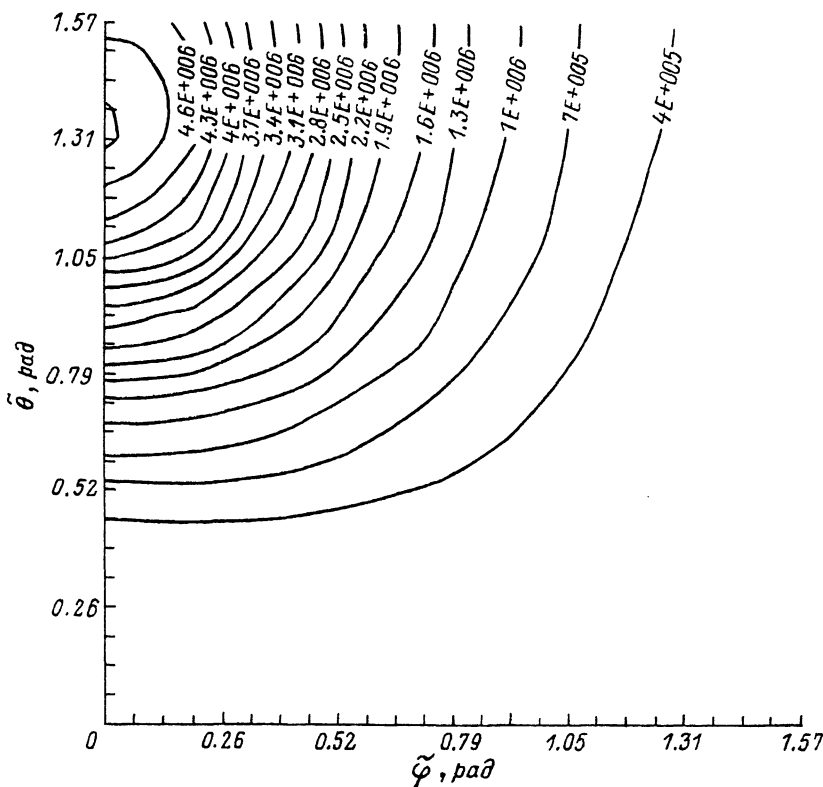
$$T_{\mu\nu} = (I_\mu I_\nu)^{-1/2} \sum_{\lambda, \lambda'} \frac{u_{\lambda\mu} u_{\lambda'\nu}}{\omega_0^2 \omega_0^2} \sum_j V_\lambda^t(\mathbf{n}) \cdot V_{\lambda'}^t(\mathbf{n}) v_j^{-3}(\mathbf{n}) \quad (13)$$

(вывод формулы (13) дан в Приложении).

Для изотопической примеси в кристалле дейтеронафталина величины $T_{\mu\nu}$ были рассчитаны на ЭВМ с использованием метода атом-атом потенциалов [8] и данных расчетов динамики молекулярных кристаллов [9]. При этом принималось во внимание то обстоятельство, что при низких значениях частоты эффекты примесной молекулы незначительны [10] и при расчетах оправдано использование данных по динамике решетки идеального кристалла.

Наличие центра симметрии у рассматриваемой нами системы приводит к тому, что отличными от нуля будут только диагональные элементы матрицы $T_{\mu\nu}$, т. е. T_{XX}, T_{YY} и T_{ZZ} . Однако численный расчет показал, что доминирующим является лишь один матричный элемент T_{XX} . Остальные на 2—3 порядка меньше по величине.

На рисунке приведена зависимость T_{XX} (изолинии) от направления распространения акустической волны в кристалле (θ, φ — углы сферической системы координат). Как видим, значение величины T_{XX} возрастает с увеличением угла θ и уменьшением угла φ .



Зависимость величины T_{XX} (изолинии) от ориентации волнового вектора акустической волны в кристалле дейтеронафталина с примесью нафталина.

Анализируя вклады разных слагаемых формулы (13), можно установить, что основной вклад в T_{XX} дает только одна акустическая ветвь, которая связывает в основном повороты молекулы вокруг ее длинной оси инерции.

Результаты численного анализа параметров $T_{\mu\nu}$ позволяют получить более простые выражения для вероятностей переходов. В высокополевом приближении имеем

$$W_{10} = a \cos^2 2\varphi \rho (\hbar\omega_{10}), \quad (14)$$

$$W_{1-1} = \frac{1}{2} a \sin^2 2\varphi \rho (\hbar\omega_{1-1}), \quad (15)$$

где

$$a = \frac{\pi V_0 T_0 (D + E)^2}{\hbar} \Pi, \quad (16)$$

φ — угол между вектором напряженности магнитного поля H и длинной осью молекулы. При заданной мощности акустической волны $\Pi = 10^{-4}$ Вт/см² и $T_0 = 5 \cdot 10^6$ с³/(г · см³) для примеси нафталина в кристалле дейтеронафталина параметр $a = 2 \cdot 10^{-18}$ (г · см²)/с³.

В нулевом магнитном поле доминирует переход между спиновыми состояниями Y и Z

$$W_{YZ} = \alpha\rho (\hbar\omega_{YZ}). \quad (17)$$

Как видим, за резонанс при этом ответственно вращение молекулы вокруг ее длинной оси инерции.

Проведем численную оценку вероятностей переходов по формулам (14), (15), (17), для чего положим $\varphi = 0$ и $\rho (\hbar\omega) \sim 1/\hbar\Delta\omega$, где $\Delta\omega$ — полуширина линии ЭПР, $\Delta\omega \sim 10^8 \text{ c}^{-1}$. Окончательно имеем $W_{10} = W_{YZ} \sim 20 \text{ c}^{-1}$.

Таким образом, при высоких магнитных полях в спектре кристалла дейтеронафтилина наблюдаются три линии (Зееман-эффект) и явление АФДР будет заключаться в перераспределении интенсивностей этих линий. Следовательно, должны существовать три частоты АФДР. В случае нулевого магнитного поля существенно изменяется интенсивность лишь одной линии. Поэтому должна наблюдаться одна частота АФДР.

Не менее важную роль при формировании АФДР играют релаксационные переходы, индуцируемые тепловыми фононами [11]

$$W_{10} = \frac{1}{4} \tilde{a}\omega^3 \left[1 - \exp\left(-\frac{\hbar\omega}{kT}\right) \right]^{-1} \cos^2 2\varphi. \quad (18)$$

Для изотопической примеси в кристалле дейтеронафтилина $\tilde{a} = 4.2 \cdot 10^{-34} \text{ с}^2$. При ориентации магнитного поля $\varphi = 0$ и $H = 10^4 \text{ Э}$ в области температур $T < 20 \text{ К}$ имеем $W_{10} \sim 1 \div 10 \text{ c}^{-1}$. Отсюда следует, что релаксационные процессы, вызванные распространением в кристалле акустической волны заданной частоты, могут оказаться доминирующими по отношению к релаксационным процессам, индуцированным тепловыми фононами. Это указывает на то, что акустическая волна может вызвать заметное перераспределение заселенности спиновых состояний и, следовательно, изменить спектр фосфоресценции. С другой стороны, явление АФДР может быть полезным для изучения связи поступательного и вращательного движений в кристалле, что важно для идентификации СПВ-механизма спин-фононного взаимодействия.

ПРИЛОЖЕНИЕ

Расчет матрицы $T_{\mu\nu}$ по теории возмущений

Представим амплитудный вектор смещений молекул кристалла в виде вектор-столбца, в котором выделены трансляционная (e^t) и вращательная (e') компоненты, и запишем уравнения движения решетки в форме

$$\begin{pmatrix} \hat{T} & \hat{K} \\ \hat{V}^+ & R \end{pmatrix} \begin{pmatrix} e^t \\ e' \end{pmatrix} = \omega^2 \begin{pmatrix} e^t \\ e' \end{pmatrix}, \quad (\text{П. 1})$$

где \hat{T} , \hat{K} и \hat{V} — блоки элементов динамической матрицы, описывающие упругие взаимодействия при поступательных и вращательных движениях молекул, а также СПВ.

Из явного вида элементов динамической матрицы кристалла нафтилина [8] следует, что в длинноволновом пределе ($f \rightarrow 0$)

$$\hat{T}(\mathbf{f}) = \hat{T}(0) + o(f^2),$$

$$\hat{R}(\mathbf{f}) = \hat{R}(0) + o(f^2),$$

$$\hat{V}(\mathbf{f}) = o(f).$$

(П. 2)

Таким образом, при $\mathbf{f} = 0$ СПВ отсутствует и предельные амплитудные векторы подразделяются на две группы, описывающие чистые трансляции и чистые вращения. Компоненты этих векторов удовлетворяют уравнениям

$$\hat{T}(0) \mathbf{e}_0^t = \omega^2 \mathbf{e}_0^t,$$

(П. 3)

$$\hat{R}(0) \mathbf{e}_0^r = \omega^2 \mathbf{e}_0^r.$$

(П. 4)

Три вектора $\mathbf{e}_0^r = \mathbf{e}_{ak,\alpha}^{r0}$, соответствующие трижды вырожденному собственному значению $\omega = 0$, можно выбрать направленными вдоль кристаллических осей. Векторы $\mathbf{e}_0^r = \mathbf{e}_{opt,\alpha}^{r0}$, $\omega = \omega_{0 opt,\alpha} \neq 0$ и $\mathbf{e}_0^r = \mathbf{e}_{lib,\lambda}^{r0}$, $\omega = \omega_{0 lib,\lambda} \neq 0$, описывающие предельные оптические и либрационные колебания, рассчитываются из уравнений (П.3) — (П.4).

При $\mathbf{f} \neq 0$ СПВ приводит к тому, что акустические колебания имеют как трансляционную, так и вращательную компоненты. Используя предельные векторы и частоты в качестве нулевого приближения и учитывая соотношения (П.1) — (П.2), можем найти эти компоненты по теории возмущений. При этом в области линейной дисперсии их трансляционные компоненты не содержат примеси предельных оптических фононов и определяются уравнением

$$\left(\hat{\Lambda}(\mathbf{n}) - v_j^2(\mathbf{n}) \right) \mathbf{e}_{ak}^t(nj) = 0,$$

(П. 5)

в котором $v_j(\mathbf{n})$ — фазовая скорость фона j -й ветви, распространяющегося вдоль вектора $\mathbf{n} = \mathbf{f}/|\mathbf{f}|$, определяемая из условия обращения в нуль детерминанта уравнения (П.5), а

$$\hat{\Lambda}(\mathbf{n}) = \frac{\partial^2}{\partial f^2} (\hat{T}(\mathbf{f}) - \hat{V}(\mathbf{f}) \hat{R}(\mathbf{f}) \hat{V}(\mathbf{f}))|_{\mathbf{f}} \rightarrow 0.$$

(П.6)

Вращательная компонента амплитудного вектора этого фона имеет вид

$$\mathbf{e}_{ak}^r(nj) = \sum_{\lambda} \mathbf{e}_{lib,\lambda}^{r0} \frac{(\mathbf{e}_{lib,\lambda}^{r0}, \hat{V}(\mathbf{f}) \mathbf{e}_{ak}^t(nj))}{\omega_{0 lib,\lambda}^2}.$$

(П.7)

Обозначив u_{μ} — проекцию предельного амплитудного вектора λ -го либрационного колебания на μ -ю ось молекулы и

$$V_{\lambda}^{rt}(\mathbf{n}j) = \frac{\partial}{\partial f} \left(\mathbf{e}_{lib,\lambda}^{r0} \hat{V}(\mathbf{f}) \mathbf{e}_{ak}^t(nj) \right) |_{\mathbf{f}} = 0,$$

получим выражение для амплитуды поворота молекулы вокруг ее μ -й оси под действием акустического колебания

$$e_\mu(fj) = \int \sum_{\lambda} u_{\lambda\mu} V_{\lambda}^{it}(nj) \omega_0^{-2} \text{lib. } \lambda. \quad (\text{П.8})$$

Подставляя данное выражение в (9), приходим к искомой формуле (13).

Список литературы

- [1] Андреев В. А., Сугаков В. И. // Физика молекулярных кристаллов. Киев: Наукова Думка, 1986. С. 61—70.
- [2] Сугаков В. И. // ФТТ. 1977. Т. 19. № 6. С. 1877—1878.
- [3] Сугаков В. И. // Спектроскопия молекул и кристаллов. Киев: Наукова Думка, 1978. С. 26—31.
- [4] Buckley M. N., Fransis A. H. // Chem. Phys. Lett. 1973. V. 22. № 4. P. 582—586.
- [5] Attia A. J., Buckley M. N., Palos R. M., Kaney J. M. // Phys. Rev. B. 1977. V. 15. № 4. P. 1239—1247.
- [6] Мак-Глинн С., Адзуми Т., Киносита М. Молекулярная спектроскопия гиппелтного состояния. М.: Мир, 1972. С. 448.
- [7] Варшалович Д. А., Москалев А. Н., Херсонский В. К. Квантовая теория углового момента. Л.: Наука, 1975. С. 439.
- [8] Китайгородский А. И. Молекулярные кристаллы. М.: Наука, 1971. С. 424.
- [9] Bokhenkov E. L., Rodina E. M., Sheka E. F., Natkaniec I. // Phys. Stat. Sol. B. 1978. V. 85. N 1. P. 331—342.
- [10] Sugakov V. I., Shtepa Yu. D. // Phys. Stat. Sol. B. 1983. V. 116. N 2. P. 633—638.
- [11] Андреев В. А., Прилуцкий Ю. И. // Укр. физ. журн. 1992. Т. 37. № 6. С. 905—913.

Киевский государственный университет
им. Т. Г. Шевченко

Поступило в Редакцию
6 декабря 1991 г.